

ТЕХНИКА И ТЕХНОЛОГИИ

УДК 517.375

КИНЕТИКА РОСТА «ГОРЯЧЕЙ» ТРЕЩИНЫ

В. Д. Кулиев, А. К. Курбанмагомедов

Московский государственный машиностроительный университет (МАМИ)

В статье определено поле напряжений и деформаций для задачи K_0 -класса для прямоугольника с центральной трещиной нормального разрыва. Определен коэффициент интенсивности напряжений K_I и дан анализ.

The article has directly determined the field of stress and strain for the K_0 -class sum for a rectangle with a central crack of normal divide. The stress intensity factor K_I has been found and analyzed.

Ключевые слова: смещения; напряжения; коэффициент интенсивности напряжений; начальные условия; условие непрерывности.

Keywords: offset voltage; stress intensity factor; initial conditions; the condition of continuity and others.

§ 1. Начальные условия, условия непрерывности и условия на бесконечности в задаче K_0

Сформулируем условия для рассматриваемой задачи (см. § 2 в [1]).

I. Начальные условия:

$$\varepsilon_x|_{t=0} = \begin{cases} \alpha T_0, & \text{если } (x, y) \in \bar{S}^+, \\ 0, & \text{если } (x, y) \notin \bar{S}^+; \end{cases} \quad (1)$$

$$\varepsilon_y|_{t=0} = \begin{cases} \alpha T_0, & \text{если } (x, y) \in \bar{S}^+, \\ 0, & \text{если } (x, y) \notin \bar{S}^+. \end{cases} \quad (2)$$

В любой точке $(x, y) \in E_2$ выполняются также условия

$$\gamma_{xy}|_{t=0} = 0, \quad (3)$$

$$\sigma_x|_{t=0} = 0, \quad \sigma_y|_{t=0} = 0, \quad \tau_{xy}|_{t=0} = 0. \quad (4)$$

II. Условия непрерывности:

1°. На границе L области S^+ нет скачка смещения.

2°. На границе L области S^+ напряжения не терпят разрыв.

III. Условия на бесконечности.

Смещения, напряжения и главный вектор сил (а также вращение) в бесконечно удаленной точке полагаем равными нулю.

Из условий непрерывности и из (34) в [1] следует, что компоненты смещения u и U должны принадлежать классу функций $C^{(3)}(E_2)$. Для того чтобы удовлетворить требованиям $u \in C^{(3)}(E_2)$ и $v \in C^{(3)}(E_2)$, необходимо:

1. Провести регуляризацию функции $F(x, y)$ в E_2 . Процедура регуляризации подробно обсуждалась в лемме § 4 в [1]. Напомним, в частности, что функция $F_h(x, y)$, получаемая посредством регуляризации, обладает следующими свойствами:

1°. Функция $F_h(x, y)$ непрерывна и имеет непрерывные производные (в обычном смысле) любого порядка в E_2 .

2°. Все производные функции $F_h(x, y)$ равны нулю везде, за исключением точек внутри достаточно узких полос Π_j^\pm (см. рис. 2 в [1]).

Заметим также, что

$$F_h(x, y) = \begin{cases} 1, & \text{если } (x, y) \in S_\varepsilon^+, \\ 0, & \text{если } (x, y) \in S_\varepsilon^-, \end{cases} \quad (5)$$

где $\varepsilon > 0$ – сколь угодно малая величина.

2. Решить задачу Коши для однородного уравнения теплопроводности

$$\Delta T = \frac{1}{a} \frac{\partial T}{\partial t}, \quad (6)$$

если в начальный момент времени $t = 0$ область D_ε ($D_\varepsilon: |x| \leq x_0 + \varepsilon, |y| \leq y_0 + \varepsilon$) нагрета до температуры $T_0 F_h(x, y)$ ($T_0 \equiv \text{const} > 0$), а теплопередающая среда в остальных точках E_2 имеет нулевую начальную температуру, т.е. если

$$T(x, y, t) \Big|_{t=0} = T_0 F_h(x, y). \quad (7)$$

Решение такой задачи описывается формулой Пуассона:

$$T(x, y, t) = \frac{T_0}{4\pi at} \int_{-\infty}^{\infty} \int_{-\infty}^{\infty} F_h(\xi, \eta) e^{-\frac{R^2}{4at}} d\xi d\eta = \frac{T_0}{4\pi at} \int F_n(\xi, \eta) e^{-\frac{R^2}{4at}} d\xi d\eta \quad (8)$$

$$R = \sqrt{(x - \xi)^2 + (y - \eta)^2}.$$

Функция $T(x, y, t)$, определяемая формулой (8), непрерывна и имеет непрерывные производные любого порядка в E_2 .

§ 2. Уравнения Дюгамеля – Неймана для задачи K_0 и их решение

Компоненты смещения представим в виде:

$$u(x, y, t) = u_1(x, y) + u_2(x, y, t), \quad (9)$$

$$v(x, y, t) = v_1(x, y) + v_2(x, y, t).$$

Введем обозначения:

$$\begin{aligned} \varepsilon_x^*(x, y) &= \frac{\partial u_1(x, y)}{\partial x}, & \varepsilon_x^{**}(x, y, t) &= \frac{\partial u_2(x, y, t)}{\partial x}, \\ \varepsilon_y^*(x, y) &= \frac{\partial v_1(x, y)}{\partial y}, & \varepsilon_y^{**}(x, y, t) &= \frac{\partial v_2(x, y, t)}{\partial y}, \\ \gamma_{xy}^*(x, y) &= \frac{\partial u_1(x, y)}{\partial y} + \frac{\partial v_1(x, y)}{\partial x}, & \gamma_{xy}^{**}(x, y, t) &= \frac{\partial u_2(x, y, t)}{\partial y} + \frac{\partial v_2(x, y, t)}{\partial x}, \\ e_1 &= \varepsilon_x^*(x, y) + \varepsilon_y^*(x, y), & \omega_1 &= \frac{\partial v_1(x, y)}{\partial x} - \frac{\partial u_1(x, y)}{\partial y}, \\ e_2 &= \varepsilon_x^{**}(x, y, t) + \varepsilon_y^{**}(x, y, t), & \omega_2 &= \frac{\partial v_2(x, y, t)}{\partial x} - \frac{\partial u_2(x, y, t)}{\partial y}, \\ \sigma_x^*(x, y) &= \frac{2G}{1-\nu} e_1 - 2G\varepsilon_y^*(x, y), \\ \sigma_x^{**}(x, y, t) &= \frac{2G}{1-\nu} [e_2 - (1+\nu)\alpha T(x, y, t)] - 2G\varepsilon_y^{**}(x, y, t), \end{aligned} \quad (10)$$

$$\begin{aligned}\sigma_y^*(x, y) &= \frac{2G}{1-\nu} e_1 - 2G\varepsilon_x^*(x, y), \\ \sigma_y^{**}(x, y, t) &= \frac{2G}{1-\nu} [e_2 - (1+\nu)\alpha T(x, y, t)] - 2G\varepsilon_x^{**}(x, y, t), \\ \tau_{xy}^*(x, y) &= G\gamma_{xy}^*(x, y), \quad \tau_{xy}^{**}(x, y, t) = G\gamma_{xy}^{**}(x, y, t).\end{aligned}$$

С помощью (10), (40) [1] и (10) имеем:

$$\varepsilon_x(x, y, t) = \varepsilon_x^*(x, y) + \varepsilon_x^{**}(x, y, t), \quad (11)$$

$$\varepsilon_y(x, y, t) = \varepsilon_y^*(x, y) + \varepsilon_y^{**}(x, y, t), \quad (12)$$

$$\gamma_{xy}(x, y, t) = \gamma_{xy}^*(x, y) + \gamma_{xy}^{**}(x, y, t), \quad (13)$$

$$\sigma_x(x, y, t) = \sigma_x^*(x, y) + \sigma_x^{**}(x, y, t), \quad (14)$$

$$\sigma_y(x, y, t) = \sigma_y^*(x, y) + \sigma_y^{**}(x, y, t), \quad (15)$$

$$\tau_{xy}(x, y, t) = \tau_{xy}^*(x, y) + \tau_{xy}^{**}(x, y, t), \quad (16)$$

$$\omega(x, y, t) = \omega_1(x, y) + \omega_2(x, y, t), \quad e(x, y, t) = e_1(x, y) + e_2(x, y, t) \quad (17)$$

Здесь $\omega = \omega_z = \frac{\partial v}{\partial x} - \frac{\partial u}{\partial y}$ – единственный отличный от нуля компонент тензора вращения плоской теории упругости.

Неизвестные функции, например, $u_2(x, y, t)$ и $v_2(x, y, t)$ в формуле (9), определяем из решения следующей вспомогательной задачи термоупругости.

Вспомогательная задача термоупругости. Пусть теплопроводящая, однородная и изотропная упругая среда заполняет всю плоскость E_2 . Далее, пусть в начальный момент времени $t = 0$ вся среда, кроме некоторой конечной односвязной области S^+ , имеет нулевую температуру, а точки области S^+ нагреты до некоторой постоянной температуры $T_0 > 0$, т.е.

$$T(x, y, t)|_{t=0} = \begin{cases} T_0, & \text{если } (x, y) \in S^+, \\ 0, & \text{если } (x, y) \notin S^+. \end{cases} \quad (18)$$

Пусть односвязная область S^+ представляет собой прямоугольник со сторонами $2x_0$ и $2y_0$, а материал теплопроводящей среды здесь тот же, что и в задаче K_0 , т.е. в задаче К-класса, с такой же прямоугольной областью S^+ . Для того чтобы $u_2 \in C^{(3)}(E_2)$ и $v_2 \in C^{(3)}(E_2)$ в дальнейшем вместо начального условия (18) принимается условие (7).

Решения данной задачи должны удовлетворять следующим условиям:

1. $\lim_{t \rightarrow +\infty} u_2(x, y, t) = 0$; $\lim_{t \rightarrow +\infty} v_2(x, y, t) = 0$.
2. На границе L области S^+ нет скачка смещения.
3. На границе L области S^+ напряжения не терпят разрыв.

4. Смещения, напряжения и главный вектор сил (а также вращение) в бесконечно удаленной точке равны нулю.

В рамках гипотез Дюгамеля и Неймана при отсутствии массовых сил и других известных допущениях (см., напр., [2]), имеем:

$$\begin{aligned} \frac{2}{1-\nu} \frac{\partial e_2(x, y, t)}{\partial x} - \frac{\partial \omega_2(x, y, t)}{\partial y} &= \frac{2(1+\nu)\alpha}{1-\nu} \cdot \frac{\partial T(x, y, t)}{\partial x}, \\ \frac{2}{1-\nu} \frac{\partial e_2(x, y, t)}{\partial y} + \frac{\partial \omega_2(x, y, t)}{\partial x} &= \frac{2(1+\nu)\alpha}{1-\nu} \cdot \frac{\partial T(x, y, t)}{\partial y}, \end{aligned} \quad (19)$$

$(t > 0, (x, y) \in E_2).$

Здесь функция $T(x, y, t)$ определяется формулой Пуассона (8).

Искомые функции u_2 и v_2 при $t > 0$ определяются известным методом [3]. Находим:

$$u_2 = -(1+\nu)\alpha a \int_t^\infty \frac{\partial T}{\partial x} d\tau, v_2 = -(1+\nu)\alpha a \int_t^\infty \frac{\partial T}{\partial y} d\tau. \quad (20)$$

Найденные таким образом функции $u_2(x, y, t)$ и $v_2(x, y, t)$ удовлетворяют всем условиям вспомогательной задачи термоупругости и являются общими решениями системы уравнений (19).

Подставляя выражения (20) в (9), определяем функции $u_1(x, y, t)$ и $v_1(x, y, t)$ таким образом, чтобы удовлетворить условиям § 1. В результате получаем:

$$\begin{aligned} u(x, y, t) &= \alpha T_0 x F_h(x, y) - (1+\nu)\alpha a \int_t^\infty \frac{\partial T(x, y, \tau)}{\partial x} d\tau - (1+\nu)\alpha \frac{\partial \Phi_0(x, y)}{\partial x}, \\ v(x, y, t) &= \alpha T_0 y F_h(x, y) - (1+\nu)\alpha a \int_t^\infty \frac{\partial T(x, y, \tau)}{\partial y} d\tau - (1+\nu)\alpha \frac{\partial \Phi_0(x, y)}{\partial y} \end{aligned} \quad (21)$$

$((x, y) \in E_2).$

Здесь функции $\Phi_0(x, y)$ и $T(x, y, t)$ определяются соответственно формулами (11) в [1] и (8). Заметим, что $u(x, y, t)$ и $v(x, y, t)$ являются решениями следующей системы уравнений Дюгамеля – Неймана [1]:

$$\begin{aligned} \frac{2}{1-\nu} \frac{\partial e}{\partial x} - \frac{\partial \omega}{\partial y} &= \frac{2(1+\nu)\alpha}{1-\nu} \frac{\partial T}{\partial x} + \frac{F_1^*(x, y)}{G}, \\ \frac{2}{1-\nu} \frac{\partial e}{\partial y} + \frac{\partial \omega}{\partial x} &= \frac{2(1+\nu)\alpha}{1-\nu} \frac{\partial T}{\partial y} + \frac{F_2^*(x, y)}{G} \end{aligned} \quad (22)$$

$(t > 0, (x, y) \in E_2).$

Здесь

$$\begin{aligned} e &= \frac{\partial u(x, y, t)}{\partial x} + \frac{\partial v(x, y, t)}{\partial y}, \\ \omega &= \frac{\partial v(x, y, t)}{\partial x} - \frac{\partial u(x, y, t)}{\partial y}, \end{aligned}$$

$$\begin{aligned}
F_1^*(x, y) &= G\alpha T_0 \left[\frac{2}{1-\nu} \left(x \frac{\partial^2 F_h}{\partial x^2} + y \frac{\partial^2 F_h}{\partial x \partial y} + \frac{\partial F_h}{\partial x} \right) + x \frac{\partial^2 F_h}{\partial y^2} - y \frac{\partial^2 F_h}{\partial x \partial y} + \frac{\partial F_h}{\partial x} \right], \\
F_2^*(x, y) &= G\alpha T_0 \left[\frac{2}{1-\nu} \left(y \frac{\partial^2 F_h}{\partial y^2} + x \frac{\partial^2 F_h}{\partial x \partial y} + \frac{\partial F_h}{\partial y} \right) + y \frac{\partial^2 F_h}{\partial x^2} - x \frac{\partial^2 F_h}{\partial x \partial y} + \frac{\partial F_h}{\partial y} \right].
\end{aligned} \tag{23}$$

Отметим, что функции $F_j^*(x, y)$, $j = 1, 2$ обладают следующими свойствами (см. лемма, § 4 в [1]):

1°. Они непрерывны и имеют непрерывные производные любого порядка в E_2 .

2°. Если $(x, y) \in S_\varepsilon^\pm$, то $F_j^*(x, y) = 0$.

3°. Если $(x, y) \in \Pi_j^\pm$, то функции $F_j^*(x, y)$, вообще говоря, отличны от нуля.

Компоненты тензора деформации в силу соотношений (38) (см. [1]) и (21) (или (20), (9), (11)–(13)) определяются следующими формулами:

$$\begin{aligned}
\varepsilon_x &= \alpha T_0 F_h(x, y) - (1+\nu)\alpha a \int_t^\infty \frac{\partial^2 T(x, y, \tau)}{\partial x^2} d\tau - (1+\nu)\alpha \frac{\partial^2 \Phi_0(x, y)}{\partial x^2} + \alpha T_0 x \frac{\partial F_h(x, y)}{\partial x}, \\
\varepsilon_y &= \alpha T_0 F_h(x, y) - (1+\nu)\alpha a \int_t^\infty \frac{\partial^2 T(x, y, \tau)}{\partial y^2} d\tau - (1+\nu)\alpha \frac{\partial^2 \Phi_0(x, y)}{\partial y^2} + \alpha T_0 y \frac{\partial F_h(x, y)}{\partial y}, \\
\gamma_{xy} &= \alpha T_0 \left(x \frac{\partial F_h(x, y)}{\partial y} + y \frac{\partial F_h(x, y)}{\partial x} \right) - 2(1+\nu)\alpha a \int_t^\infty \frac{\partial^2 T(x, y, \tau)}{\partial x \partial y} d\tau - 2(1+\nu)\alpha \frac{\partial^2 \Phi_0(x, y)}{\partial x \partial y}.
\end{aligned} \tag{24}$$

Здесь функции $\Phi_0(x, y)$ и $T(x, y, t)$ задаются формулами (11) в [1] и (8).

Непосредственным дифференцированием можно убедиться, что компоненты тензора малых деформаций ε_x , ε_y и γ_{xy} , определяемые формулами (26), при $t > 0$ удовлетворяют условию совместности деформаций Сен-Венана (34) [1] в E_2 .

Компоненты тензора напряжений в силу равенств (37) [1] и (24) (или (20), (9), (10), (14)–(16)) определяются следующими формулами:

$$\begin{aligned}
\sigma_x &= \frac{2G\alpha T_0}{1-\nu} \left[x \frac{\partial F_h(x, y)}{\partial x} + y \frac{\partial F_h(x, y)}{\partial y} \right] + 2G(1+\nu)\alpha \left[a \int_t^\infty \frac{\partial^2 T(x, y, \tau)}{\partial y^2} d\tau + \frac{\partial^2 \Phi_0(x, y)}{\partial y^2} \right] - 2G\alpha T_0 y \frac{\partial F_h(x, y)}{\partial y}, \\
\sigma_y &= \frac{2G\alpha T_0}{1-\nu} \left[x \frac{\partial F_h(x, y)}{\partial x} + y \frac{\partial F_h(x, y)}{\partial y} \right] + \\
&+ 2G(1+\nu)\alpha \left[a \int_t^\infty \frac{\partial^2 T(x, y, \tau)}{\partial x^2} d\tau + \frac{\partial^2 \Phi_0(x, y)}{\partial x^2} \right] - 2G\alpha T_0 x \frac{\partial F_h(x, y)}{\partial x},
\end{aligned} \tag{25}$$

$$\tau_{xy} = GaT_0 \left[x \frac{\partial F_h(x, y)}{\partial y} + y \frac{\partial F_h(x, y)}{\partial x} \right] -$$

$$-2G(1+\nu)\alpha \left[a \int_t^\infty \frac{\partial^2 T(x, y, \tau)}{\partial x \partial y} d\tau + \frac{\partial^2 \Phi_0(x, y)}{\partial x \partial y} \right].$$

Здесь функции $\Phi_0(x, y)$ и $T(x, y, t)$ определены формулами (10) [1] и (8).

§ 3. Анализ решения

В силу определения и других свойств $F_h(x, y)$ из соотношений (21), (24) и (25) получаем:

1. Если $(x, y) \in S_\varepsilon^+$, то

$$u = \alpha T_0 x - (1+\nu)\alpha a \int_t^\infty \frac{\partial T(x, y, \tau)}{\partial x} d\tau - (1+\nu)\alpha \frac{\partial \Phi_0(x, y)}{\partial x}, \quad (26)$$

$$v = \alpha T_0 y - (1+\nu)\alpha a \int_t^\infty \frac{\partial T(x, y, \tau)}{\partial y} d\tau - (1+\nu)\alpha \frac{\partial \Phi_0(x, y)}{\partial y}, \quad (27)$$

$$\varepsilon_x = \alpha T_0 - (1+\nu)\alpha a \int_t^\infty \frac{\partial^2 T(x, y, \tau)}{\partial x^2} d\tau - (1+\nu)\alpha \frac{\partial^2 \Phi_0(x, y)}{\partial x^2}, \quad (28)$$

$$\varepsilon_y = \alpha T_0 - (1+\nu)\alpha a \int_t^\infty \frac{\partial^2 T(x, y, \tau)}{\partial y^2} d\tau - (1+\nu)\alpha \frac{\partial^2 \Phi_0(x, y)}{\partial y^2}, \quad (29)$$

$$\gamma_{xy} = -2(1+\nu)\alpha \left[a \int_t^\infty \frac{\partial^2 T(x, y, \tau)}{\partial x \partial y} d\tau + \frac{\partial^2 \Phi_0(x, y)}{\partial x \partial y} \right], \quad (30)$$

$$\sigma_x = 2G(1+\nu)\alpha \left[a \int_t^\infty \frac{\partial^2 T(x, y, \tau)}{\partial y^2} d\tau + \frac{\partial^2 \Phi_0(x, y)}{\partial y^2} \right], \quad (31)$$

$$\sigma_y = 2G(1+\nu)\alpha \left[a \int_t^\infty \frac{\partial^2 T(x, y, \tau)}{\partial x^2} d\tau + \frac{\partial^2 \Phi_0(x, y)}{\partial x^2} \right], \quad (32)$$

$$\tau_{xy} = -2G(1+\nu)\alpha \left[a \int_t^\infty \frac{\partial^2 T(x, y, \tau)}{\partial x \partial y} d\tau + \frac{\partial^2 \Phi_0(x, y)}{\partial x \partial y} \right]. \quad (33)$$

Здесь функции $\Phi_0(x, y)$ и $T(x, y, t)$ определяются соответственно формулами (19) [1] и (3).

2. Если $(x, y) \in S_\varepsilon^-$, то

$$u = -(1+\nu)\alpha \left[a \int_t^\infty \frac{\partial T(x, y, \tau)}{\partial x} d\tau + \frac{\partial \Phi_0(x, y)}{\partial x} \right], \quad (34)$$

$$v = -(1+\nu)\alpha \left[a \int_t^\infty \frac{\partial T(x, y, \tau)}{\partial y} d\tau + \frac{\partial \Phi_0(x, y)}{\partial y} \right], \quad (35)$$

$$\varepsilon_x = -(1+\nu)\alpha \left[a \int_0^{\infty} \frac{\partial^2 T(x, y, \tau)}{\partial x^2} d\tau + \frac{\partial^2 \Phi_0(x, y)}{\partial x^2} \right], \quad (36)$$

$$\varepsilon_y = -(1+\nu)\alpha \left[a \int_0^{\infty} \frac{\partial^2 T(x, y, \tau)}{\partial y^2} d\tau + \frac{\partial^2 \Phi_0(x, y)}{\partial y^2} \right]. \quad (37)$$

Функции γ_{xy} , σ_x , σ_y и τ_{xy} определяются формулами (30), (31), (32) и (33), соответственно, но при этом предполагается, что $(x, y) \in S_\varepsilon^-$, а функции $\Phi_0(x, y)$ и $T(x, y, t)$ определяются формулами (11) [1] и (8).

Из выражений (21) и (25) следует, что сформулированные для рассматриваемой задачи в § 1 условия непрерывности и условия на бесконечности удовлетворяются.

Если $(x, y) \in S_\varepsilon^+$, то из выражений (26)–(33) получаем следующие значения исследуемых величин в начальный момент времени:

$$\begin{aligned} u|_{t=0} = \alpha T_0 x, \quad v|_{t=0} = \alpha T_0 y, \quad \varepsilon_x|_{t=0} = \alpha T_0, \quad \varepsilon_y|_{t=0} = \alpha T_0, \quad \gamma_{xy}|_{t=0} = 0, \\ \sigma_x|_{t=0} = 0, \quad \sigma_y|_{t=0} = 0, \quad \tau_{xy}|_{t=0} = 0. \end{aligned} \quad (38)$$

Если же $(x, y) \in S_\varepsilon^-$, то, используя (34)–(37) и формулы (30)–(33), в которых полагаем, что $(x, y) \in S_\varepsilon^-$, имеем:

$$\begin{aligned} u|_{t=0} = 0, \quad v|_{t=0} = 0, \quad \varepsilon_x|_{t=0} = 0, \quad \varepsilon_y|_{t=0} = 0, \quad \gamma_{xy}|_{t=0} = 0, \\ \sigma_x|_{t=0} = 0, \quad \sigma_y|_{t=0} = 0, \quad \tau_{xy}|_{t=0} = 0. \end{aligned} \quad (39)$$

Отметим также, что при $(x, y) \in S_\varepsilon^+$ из полученных нами выражений, (26), (27) и (33) в силу (3) [1] и (19), (20), (23) [1] следуют равенства:

$$u(x, y, t)|_{x=0} = 0, \quad \tau_{xy}(x, y, t)|_{x=0} = 0, \quad (40)$$

$$v(x, y, t)|_{y=0} = 0, \quad \tau_{xy}(x, y, t)|_{y=0} = 0. \quad (41)$$

§ 4. Коэффициент интенсивности напряжений

Формулы (31)–(33) благодаря равенству (25)–(27) [1] можно записать так:

$$\begin{aligned} \sigma_x(x, y, t) &= -2G(1+\nu)\alpha a \int_0^t \frac{\partial^2 T(x, y, \tau)}{\partial y^2} d\tau > 0, \\ \sigma_y(x, y, t) &= -2G(1+\nu)\alpha a \int_0^t \frac{\partial^2 T(x, y, \tau)}{\partial x^2} d\tau > 0, \\ \tau_{xy}(x, y, t) &= 2G(1+\nu)\alpha a \int_0^t \frac{\partial^2 T(x, y, \tau)}{\partial x \partial y} d\tau \\ & \left((x, y) \in S_\varepsilon^+ \right). \end{aligned} \quad (42)$$

Учитывая, что функция $T(x, y, t)$ здесь определяется зависимостью (3) [1], на основании (42) можно сделать следующие выводы:

1°. Нормальные напряжения $\sigma_x(x, y, t)$ и $\sigma_y(x, y, t)$ при $t > 0$ описываются функциями, четными и по x и по y .

2°. При прочих равных условиях напряжения $\sigma_x(x, y, t)$ и $\sigma_y(x, y, t)$ представляют собой монотонно возрастающие функции времени t , в начальный момент равные нулю (см. (38)):

$$\sigma_x(x, y, 0) = 0, \quad \sigma_y(x, y, 0) = 0. \quad (43)$$

3°. Касательное напряжение $\tau_{xy}(x, y, t)$ при $t > 0$ является нечетной функцией и по x и по y .

Кроме того, нами показано, что

$$\nu(x, 0, t) = 0, \quad \tau_{xy}(x, 0, t) = 0$$

$$\left((x, y) \in S^+(\varepsilon) \right).$$

Из выражений (42) с учетом (3) [1] получаем

$$\sigma_y(x, 0, t) = \frac{G(1+\nu)\alpha T_0 t}{2\sqrt{\pi a}} \int_0^t \left[(x_0 + x) e^{-\frac{(x_0+x)^2}{4a\tau}} + (x_0 - x) e^{-\frac{(x_0-x)^2}{4a\tau}} \right] \frac{\operatorname{erf}\left(\frac{y_0}{2\sqrt{a\tau}}\right)}{\tau\sqrt{\tau}} d\tau \quad (44)$$

$$\left((x, y) \in S^+(\varepsilon) \right),$$

откуда с учетом (43) и (25) [1] следует, что значения $\sigma_y(x, 0, t)$ заключены в промежутке $0 \leq \sigma_y(x, 0, t) \leq \sigma_{y\max}$, где

$$\sigma_{y\max} = \lim_{t \rightarrow +\infty} \sigma_y(x, 0, t) = \frac{2GT_0(1+\nu)\alpha}{\pi} \left[\operatorname{arctg}\left(\frac{y_0}{x_0+x}\right) + \operatorname{arctg}\left(\frac{y_0}{x_0-x}\right) \right] \quad (45)$$

$$\left((x, y) \in S^+(\varepsilon) \right).$$

Из (44) следует, что коэффициенты интенсивности напряжений K_I^+ и K_I^- для изолированной центральной трещины длины $2l$ ($-x_0 < -l \leq x \leq l < x_0, y = 0$) в точках $x = +l$ и $x = -l$ определяются формулой (см., напр., [2, с. 485]):

$$K_I = K_I^- = K_I^+ = \frac{G(1+\nu)\alpha T_0 \sqrt{l}}{\pi\sqrt{a}} \int_0^1 \frac{1}{\sqrt{1-\xi^2}} \times$$

$$\int_0^t \left[(x_0 + \xi l) e^{-\frac{(x_0+\xi l)^2}{4a\tau}} + (x_0 - \xi l) e^{-\frac{(x_0-\xi l)^2}{4a\tau}} \right] \frac{\operatorname{erf}\left(\frac{y_0}{2\sqrt{a\tau}}\right)}{\tau^{3/2}} d\tau d\xi \quad (46)$$

$$(l < x_0).$$

Отсюда следует, что при прочих равных условиях с течением времени t коэффициент интенсивности напряжений K_I увеличивается.

Из (46) при $t \rightarrow +\infty$ получаем

$$K_I^* = \lim_{t \rightarrow \infty} K_I = \frac{G(1+\nu)\alpha T_0 \sqrt{l}}{\pi \sqrt{a}} \int_0^1 \frac{1}{\sqrt{1-\xi^2}} \times$$

$$\times \int_0^\infty \left\{ \left[(x_0 + \xi l) e^{-\frac{(x_0 + \xi l)^2}{4a\tau}} + (x_0 - \xi l) e^{-\frac{(x_0 - \xi l)^2}{4a\tau}} \right] \frac{\operatorname{erf}\left(\frac{y_0}{2\sqrt{a\tau}}\right)}{\tau^{3/2}} \right\} d\tau d\xi$$

$$(l < x_0).$$

Отсюда, вычисляя внутренний интеграл, находим

$$K_I^* = \frac{4G(1+\nu)\alpha T_0 \sqrt{l}}{\pi \sqrt{\pi}} \int_0^1 \frac{1}{\sqrt{1-\xi^2}} \left[\operatorname{arctg}\left(\frac{b}{1+\xi l_*}\right) + \operatorname{arctg}\left(\frac{b}{1-\xi l_*}\right) \right] d\xi. \quad (47)$$

Здесь

$$b = \frac{y_0}{x_0}, \quad l_* = \frac{l}{x_0} \quad (0 < l_* < 1).$$

Вычисление интеграла в (47) дает

$$\frac{2}{\pi} \int_0^1 \frac{1}{\sqrt{1-\xi^2}} \left[\operatorname{arctg}\left(\frac{b}{1+\xi l_*}\right) + \operatorname{arctg}\left(\frac{b}{1-\xi l_*}\right) \right] d\xi = \operatorname{arctg}\left(\frac{b}{1+l_*}\right) +$$

$$+ \operatorname{arctg}\left(\frac{b}{1-l_*}\right) + \operatorname{arctg}\left(\frac{B+2C}{A+2D+1}\right) - \operatorname{arctg}\left(\frac{B}{A}\right). \quad (48)$$

Здесь

$$C = \sqrt{\frac{1}{2}(\sqrt{A^2 + B^2} - A)}, \quad D = \frac{B}{2C}, \quad A = 1 + \frac{(b^2 - 1)}{(1 + b^2)^2} l_*^2, \quad B = \frac{2bl_*^2}{(1 + b^2)^2} \quad (49)$$

$$(A > 0, \quad B > 0, \quad C > 0, \quad C < D).$$

С помощью (47) и (48) окончательно находим

$$K_{I\max}^* = 2G(1+\nu)\alpha T_0 \sqrt{\pi l} Y(b, l_*). \quad (50)$$

Здесь

$$Y(b, l_*) = \frac{1}{\pi} \left[\operatorname{arctg}\left(\frac{b}{1+l_*}\right) + \operatorname{arctg}\left(\frac{b}{1-l_*}\right) + \operatorname{arctg}\left(\frac{B+2C}{A+2D+1}\right) - \operatorname{arctg}\left(\frac{B}{A}\right) \right]$$

$$(0 < l_* < 1). \quad (51)$$

Функцию $Y(b, l_*)$ в механике разрушения иногда называют корректирующей функцией.

Из (50) и (51), в частности, следует:

1°. Если $b \rightarrow +\infty$ (при этом предполагается, что x_0 является некоторой конечной величиной), то

$$K_1^* = 2G(1 + \nu)\alpha T_0 \sqrt{\pi l} \quad (0 < l < x) \quad (52)$$

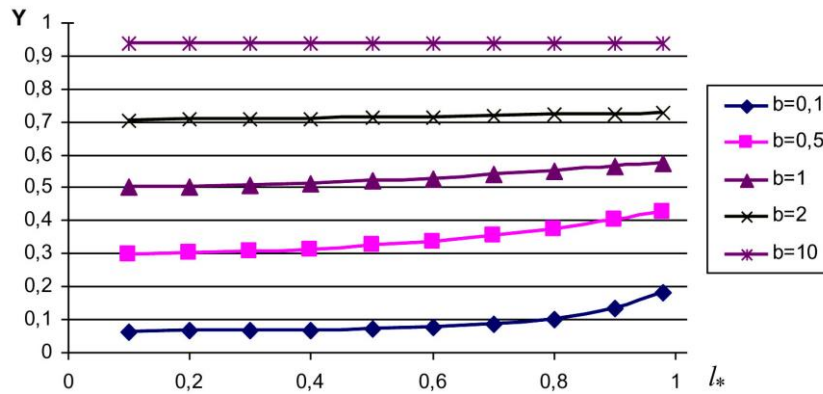
2°. Если $b = 1$ (при конечном x_0 (или y_0)), то

$$Y(1, l_*) = 1 - \frac{1}{\pi} \left\{ \operatorname{arctg} \left(\frac{2}{l_*^2} \right) - \operatorname{arctg} \left(\frac{l_*^2}{2} \right) - \operatorname{arctg} \left[\sqrt{\frac{1}{2} \sqrt{1 + \frac{l_*^4}{4} - \frac{1}{2}}} \right] \right\}.$$

3°. Если $b \rightarrow +0$ (при конечном x_0), то $K_1^* \equiv 0$.

4°. Если $b \rightarrow +0$ (при конечном y_0), то $K_1^* \equiv 0$.

Поведение функции $Y(b, l_*)$ иллюстрируют результаты численного расчета, представленные графически на рисунке, каждая кривая задача есть график зависимости функции $Y(b, l_*)$ от l_* при некотором фиксированном значении безразмерного параметра b .



Из представленных на рисунке графиков видно, что:

1. При фиксированном значении параметра b функция $Y(b, l_*)$ монотонно растет с ростом l_* ($0 < l_* < 1$).

2. При фиксированном значении l_* функция $Y(b, l_*)$ монотонно растет с увеличением параметра b .

Полученные результаты важны для определения прочности элементов конструкций, например, для создания неподвижных (прессовых) соединений деталей машин.

ЛИТЕРАТУРА

1. Кулиев В.Д., Курбанмагомедов А.К. В-метод решения одной задачи термоупругости из К-класса // Вестн. Дагест. науч. центра. 2014. № 54. С. 18–25.
2. Кулиев В.Д. Сингулярные краевые задачи. М.: Физматлит, 2005. 720 с.
3. Папкович П.Ф. Теория упругости. М.: Гостехиздат, 1939. 456 с.
4. Кулиев В.Д. Метод решения задач термоупругости К-класса // Наука и современность – 2014: сб. материалов XXVIII Междунар. науч.-практ. конф. / под общ. ред. С.С. Чернова. Новосибирск: Изд-во ЦРНС, 2014. С. 46–59.

Поступила в редакцию 12.06.2014 г.
Принята к печати 24.12.2014 г.